

# **Zerstörungsfreie Untersuchung der chemischen Verbindungen im Inneren einer (ZEBRA) Batterie – mittels Neutronen**

**M. Hofmann<sup>1</sup>, R. Gilles<sup>1</sup>, Y. Gao<sup>2</sup>, J.T. Rijssenbeek<sup>2</sup>, M. J. Mühlbauer<sup>1</sup>**

**<sup>1</sup> FRM II, TU München, Lichtenbergstr. 1, D-85747 Garching, Germany**

**<sup>2</sup> GE Global Research, One Research Circle, Niskayuna, NY 12301, USA**



Technische Universität  
München

Forschungsneutronenquelle  
Heinz Maier-Leibnitz (FRM II)



# **Was sind ZEBRA Batterien?**

## **Neutronenstreuung - Ergebnisse:**

- Radiographie
- Diffraktion

## **Zusammenfassung**

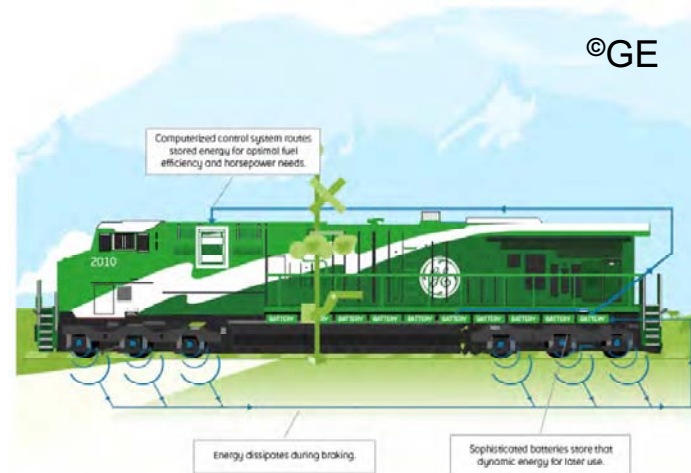
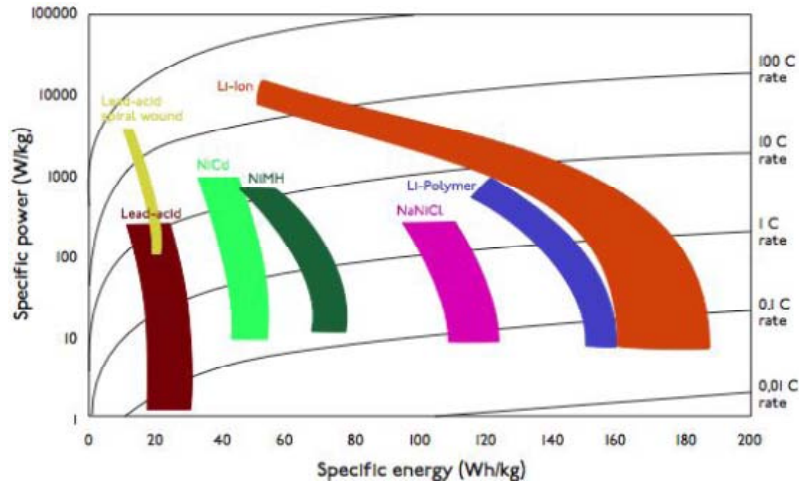


# ZEBRA Batterie

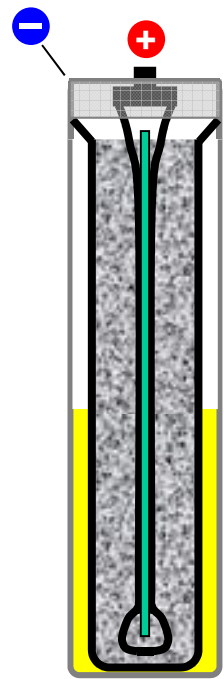
## Zeolithe Battery Research Africa

### **Na/MCl<sub>2</sub>**

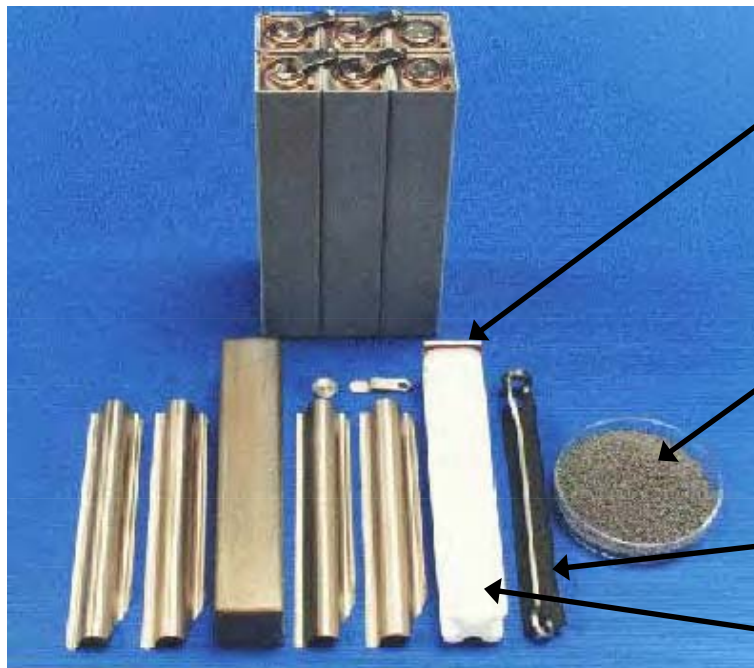
- Hohe Energiedichte
- Lebensdauer > 1000 Zyklen
- Fehlertolerant (Kurzschluss und überladen/-entladen)
- Einsetzbar bei niedrigen und hohen Temperaturen
- Billige Ausgangsmaterialien (Ni, Fe, NaCl)



## ZEBRA Batterie



laden



Dichtung zw.  $\beta''$ -alumina-Rohr und Stahlhülle

Kathode – Fe + NaCl (Pulver)

Kathode Ladungs-kollektor

$\beta''$ -alumina Rohr (Na<sup>+</sup> Ionen leitender, fester Elektrolyt)

m1

M.H. Vallance et al, Proc. of the COMSOL Conf. Boston (2008)

## Folie 4

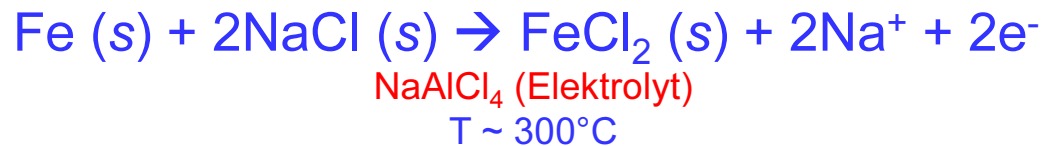
---

**m1**

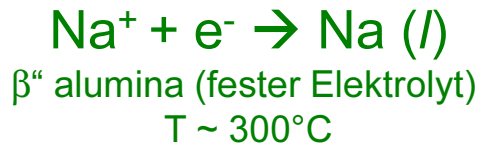
mhofmann; 14.07.2011

# ZEBRA Batterie – Zellchemie

## Kathode



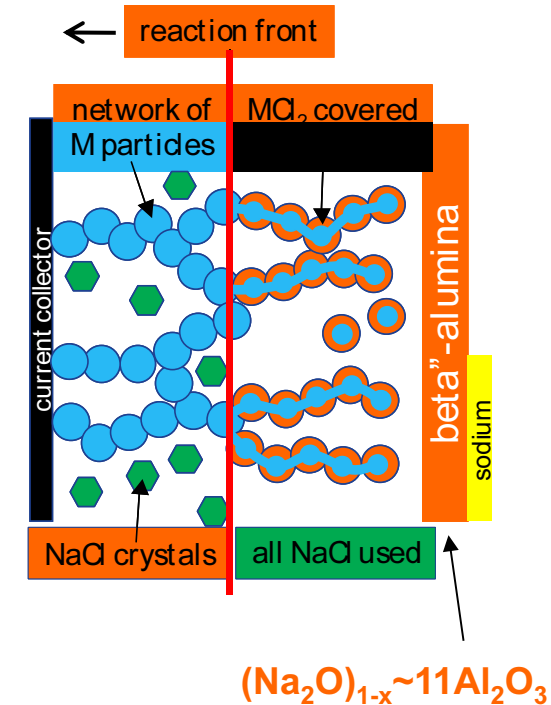
## Anode



## Gesamt



Laden



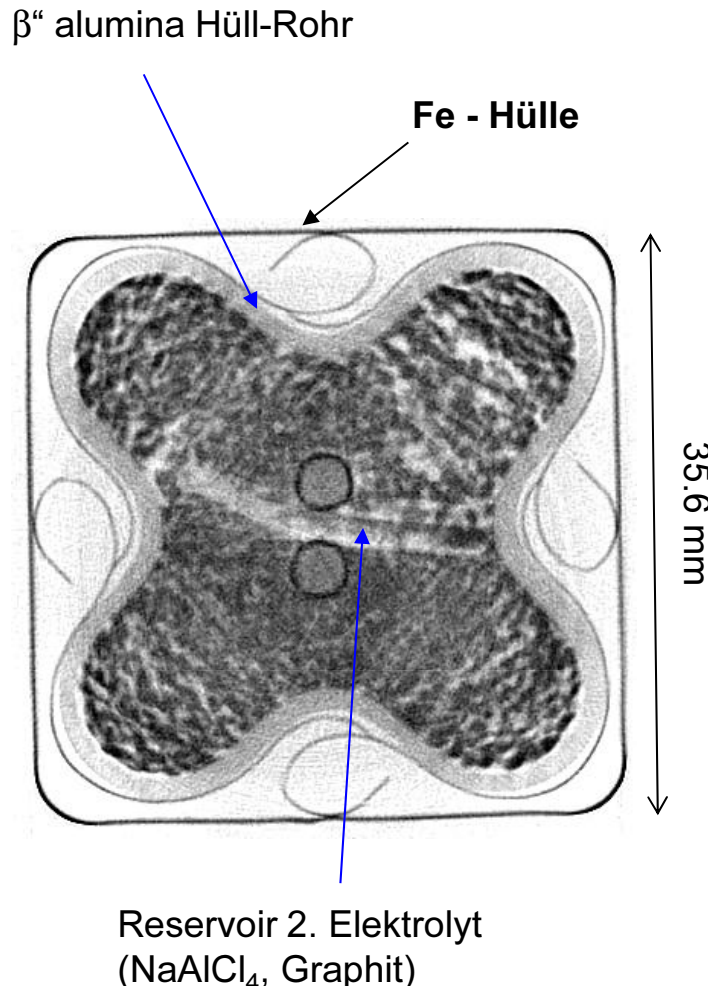
$$\text{Ni} \dots E^0 = 2.59 \text{ V}$$

$$\text{Fe} \dots E^0 = 2.35 \text{ V}$$

## Antares, FRM II - Tomographie und Radiographie

Neutronenfluß	$2.5 \times 10^7 \text{ s}^{-1} \text{cm}^{-2}$
L/D	800
Messfeld	191mm x 191mm
Pixelgröße	93µm x 93µm
Erreichte Auflösung	~ 150µm
Zahl d. Projektionen	400
Messzeit für 1 Projektion	50 s

**2 x Na/FeCl<sub>2</sub> Zellen:**  
 $w \times h = 35.6 \text{ mm} \times 230 \text{ mm}$   
- geladen auf 20 Ahr  
- entladen

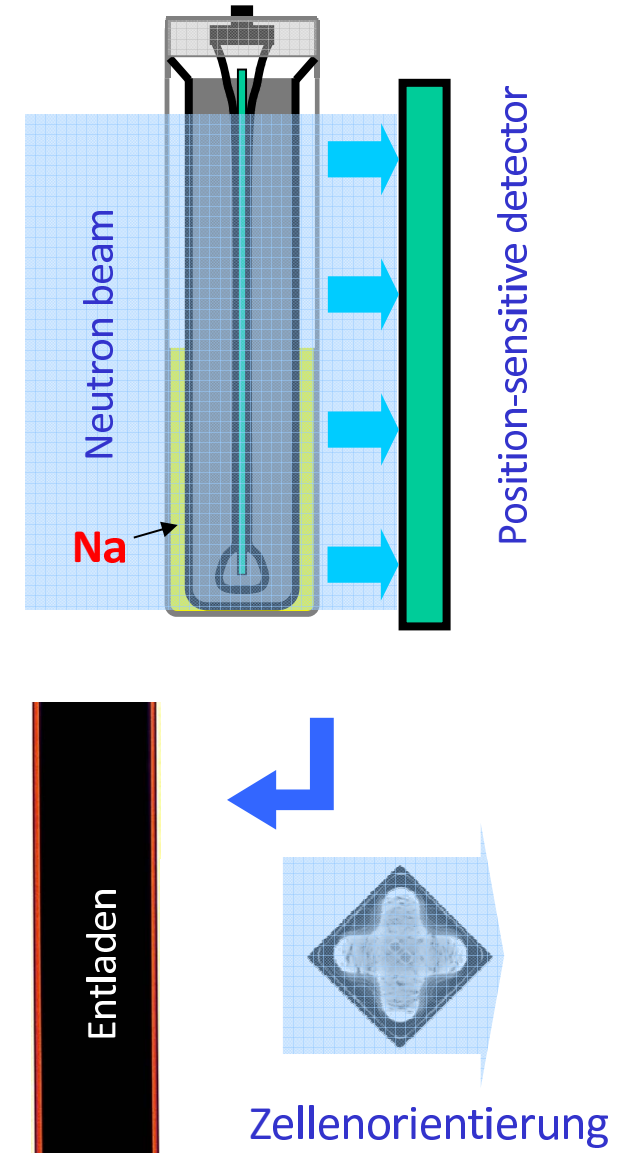
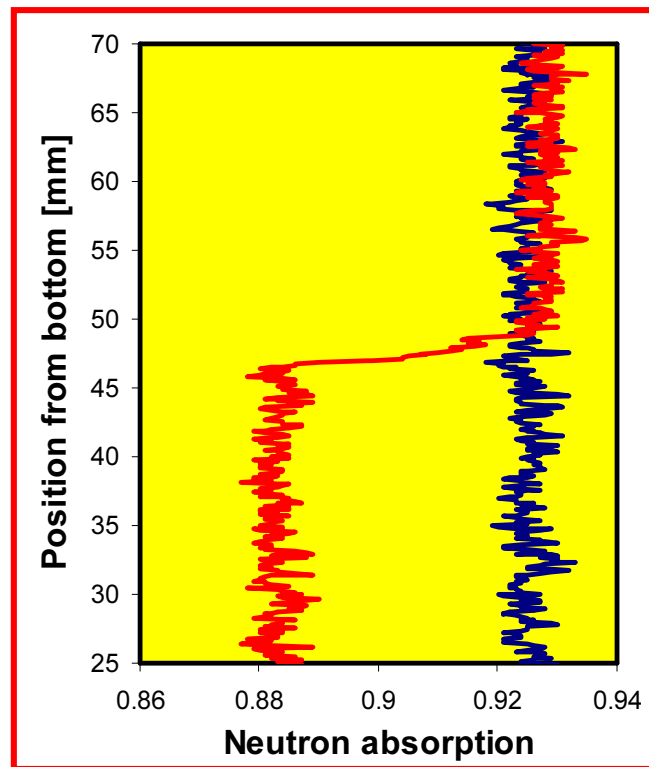


# Neutronenradiographie

Laden



Na-Level steigt beim Laden



# Ortsaufgelöste Neutronendiffraktion



## Stress-Spec, FRM II (Eigenspannungen und Texturen)

Einfache und flexible  
Definition des Messvolumens

Exakte Probenpositionierung

Variable Wellenlängen-  
einstellung

Großer Detektor

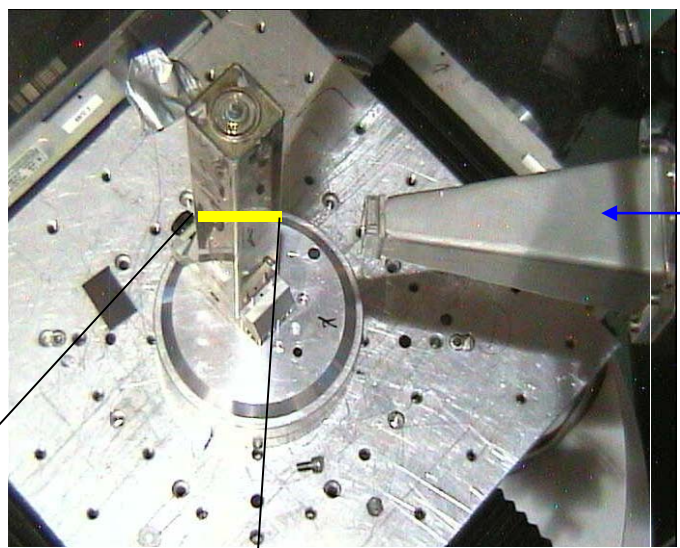


Technische Universität  
München

Forschungsneutronenquelle  
Heinz Maier-Leibnitz (FRM II)



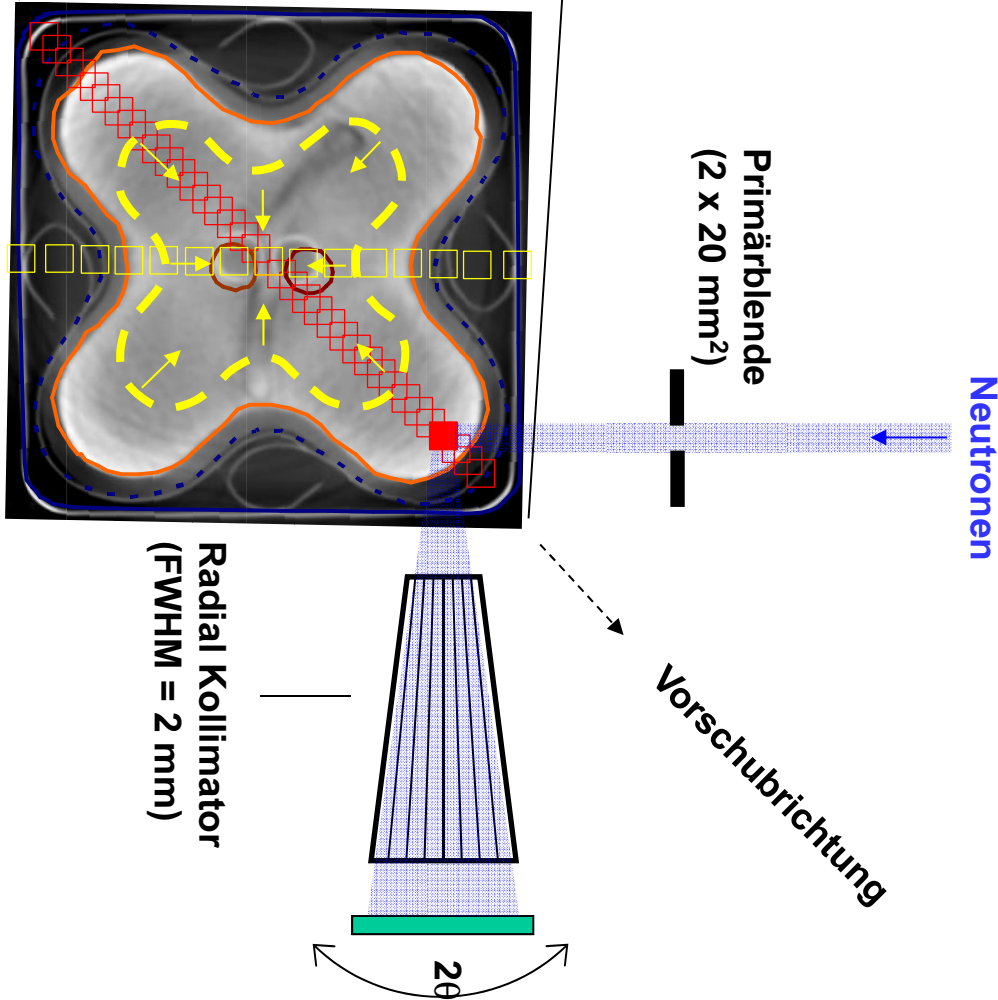
# Ortsauflöste Neutronendiffraktion

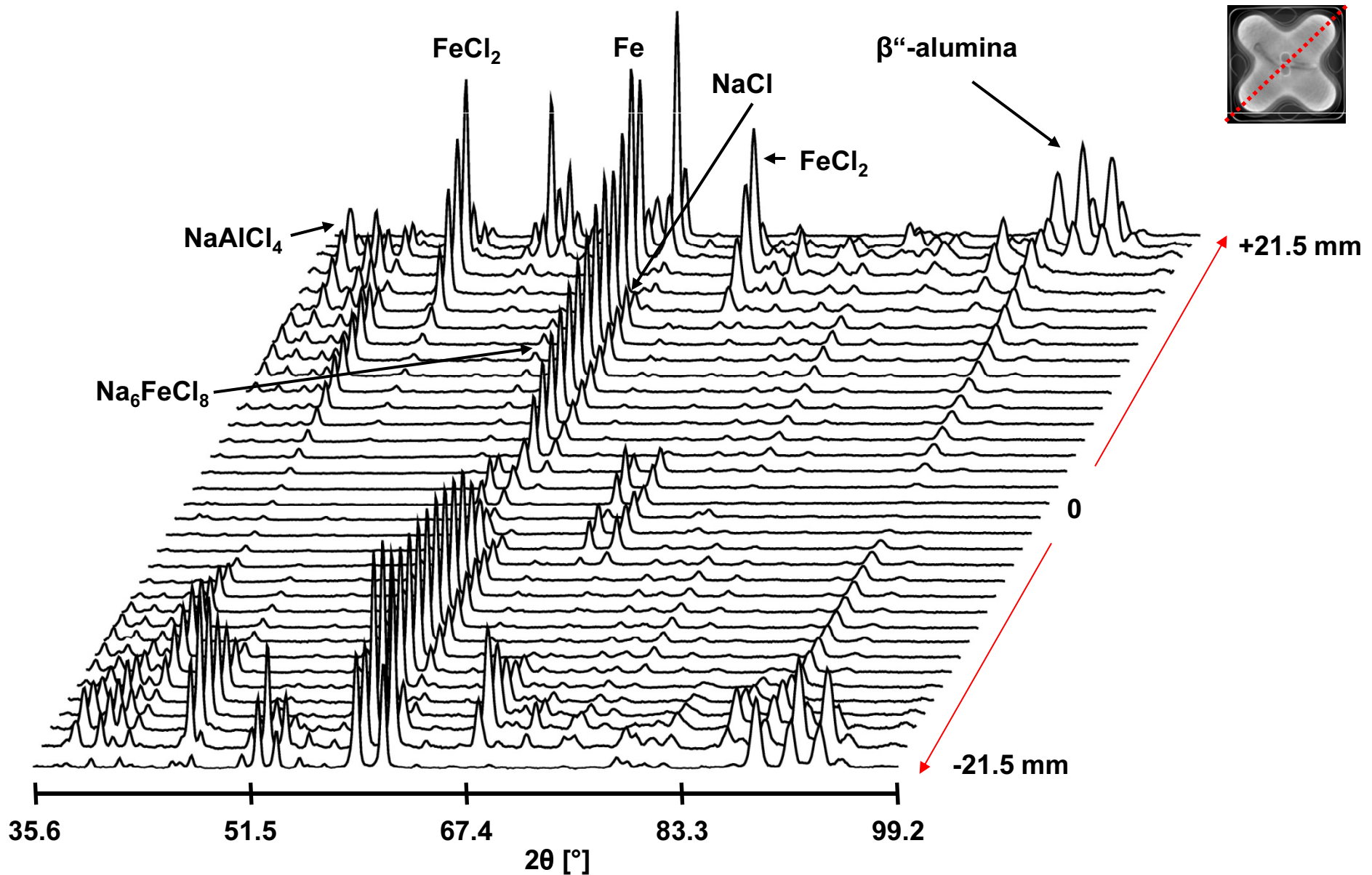


Stress-Spec, FRM II

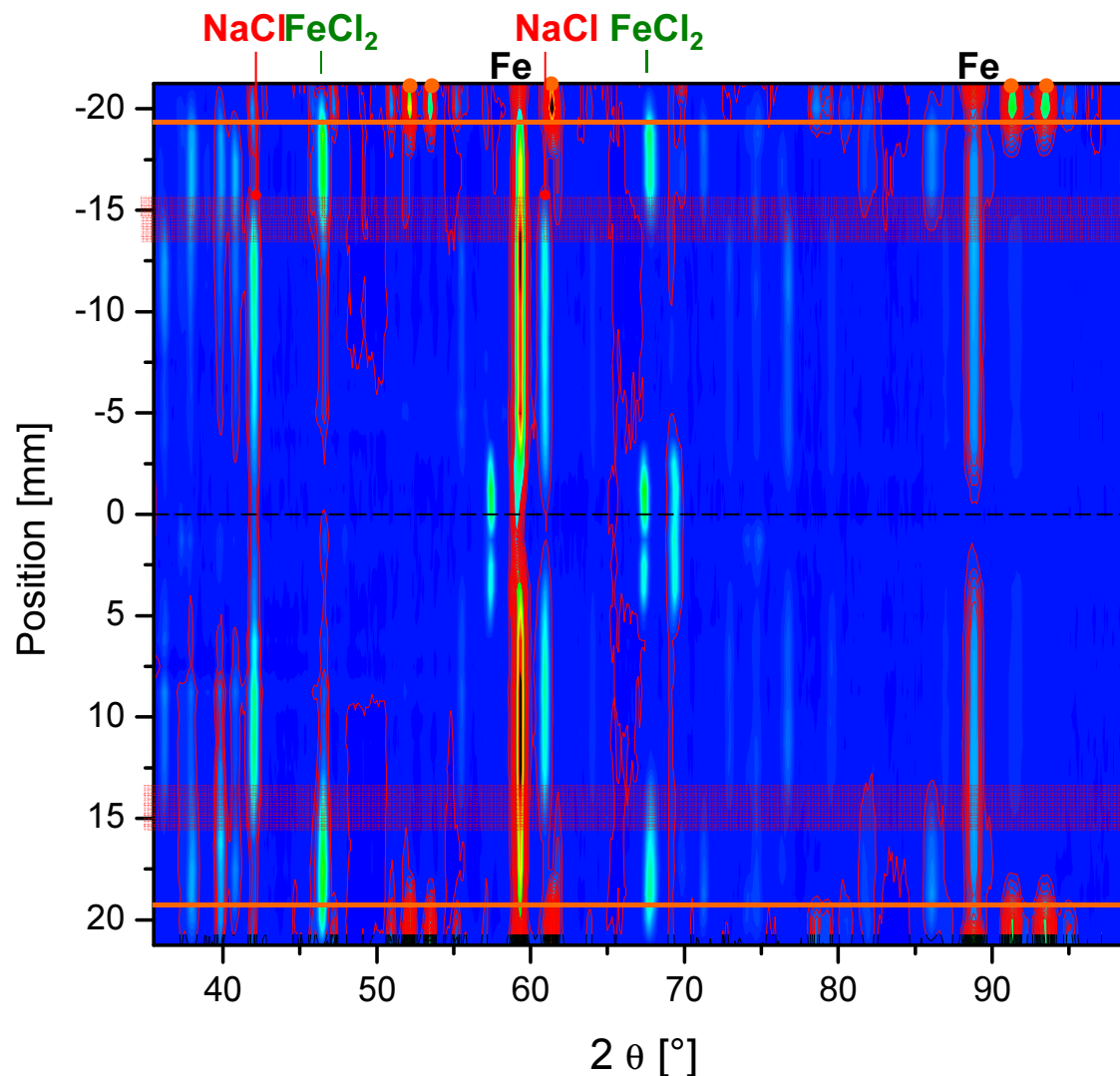
$\lambda = 2.014 \text{ \AA}$   
 $2\theta$ -Bereich =  $35 - 110^\circ$

Messhöhe = 115 mm

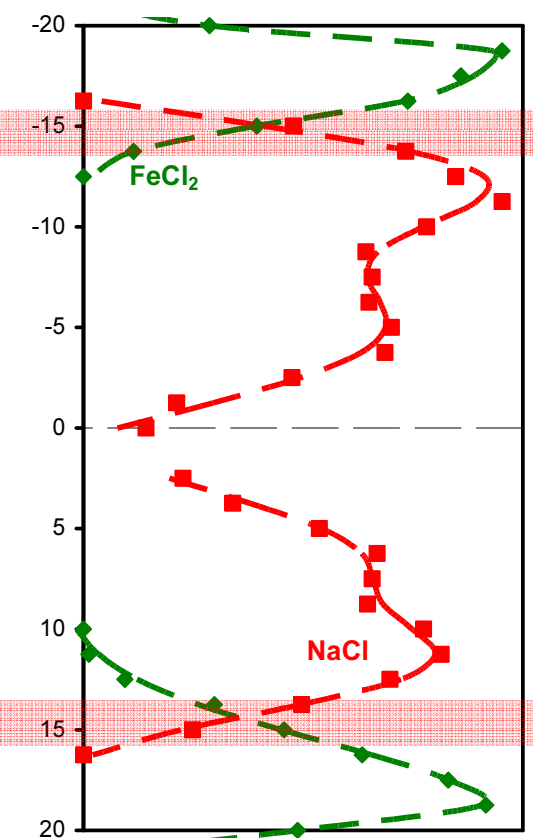
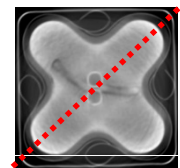




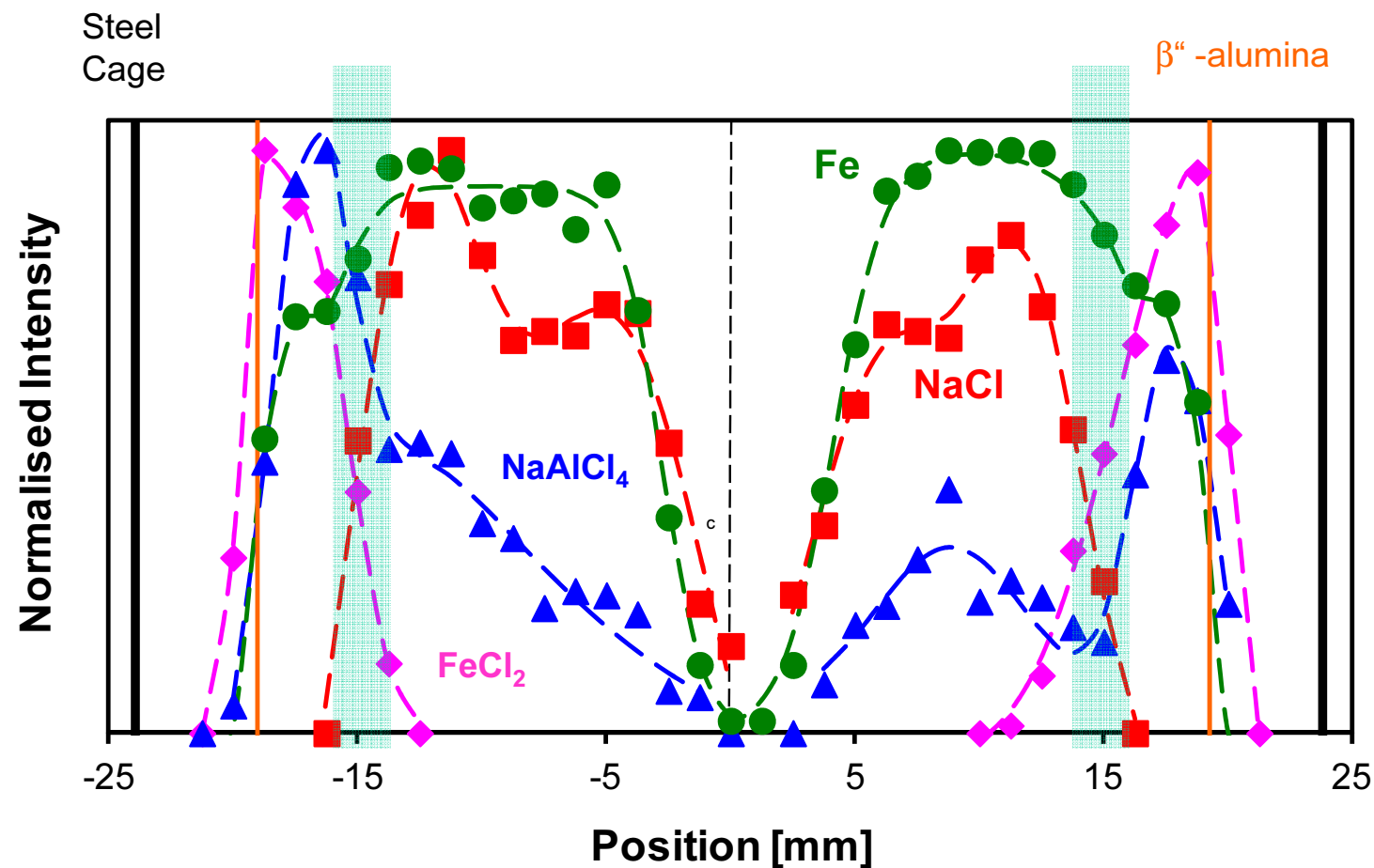
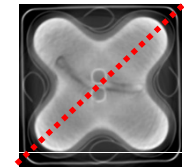
## Diagonal-Scan

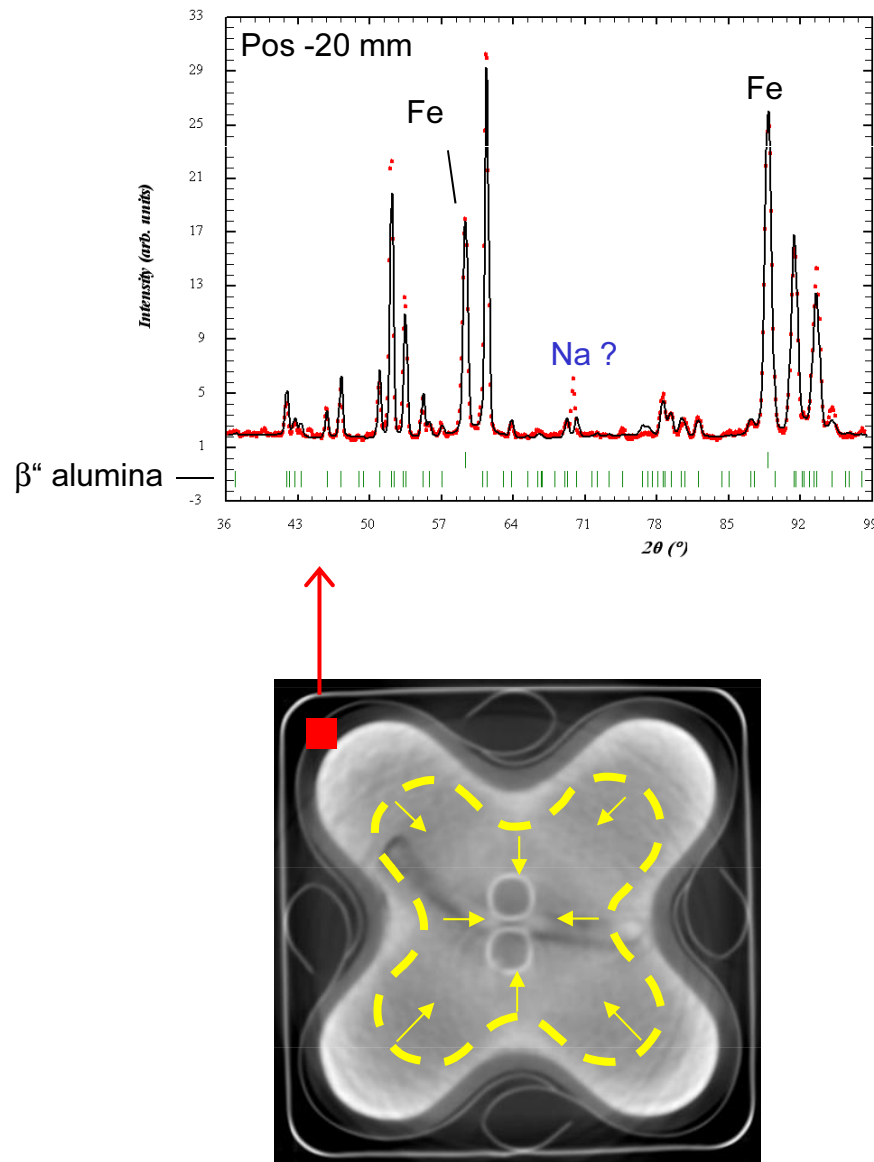


$\beta''$ -alumina  
Normalised Intensity



# Intensitäten = Phasenverteilung in der Zelle

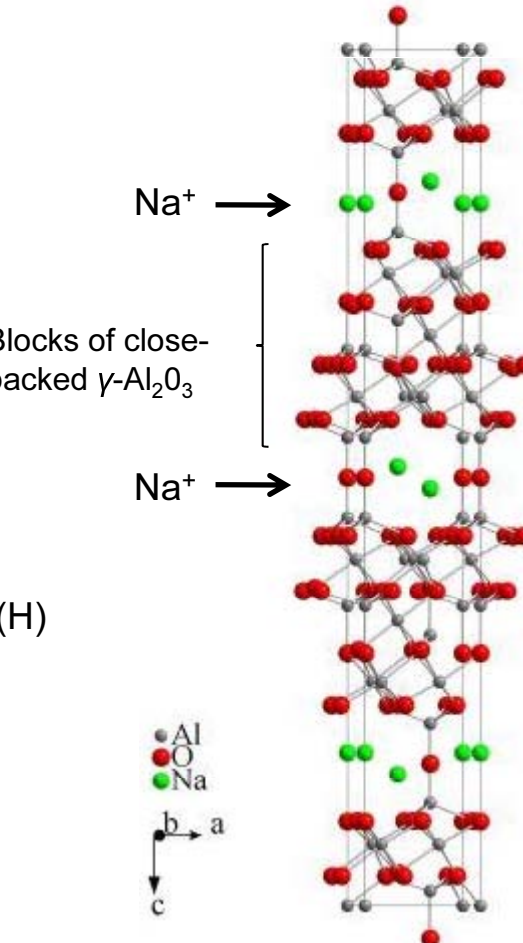


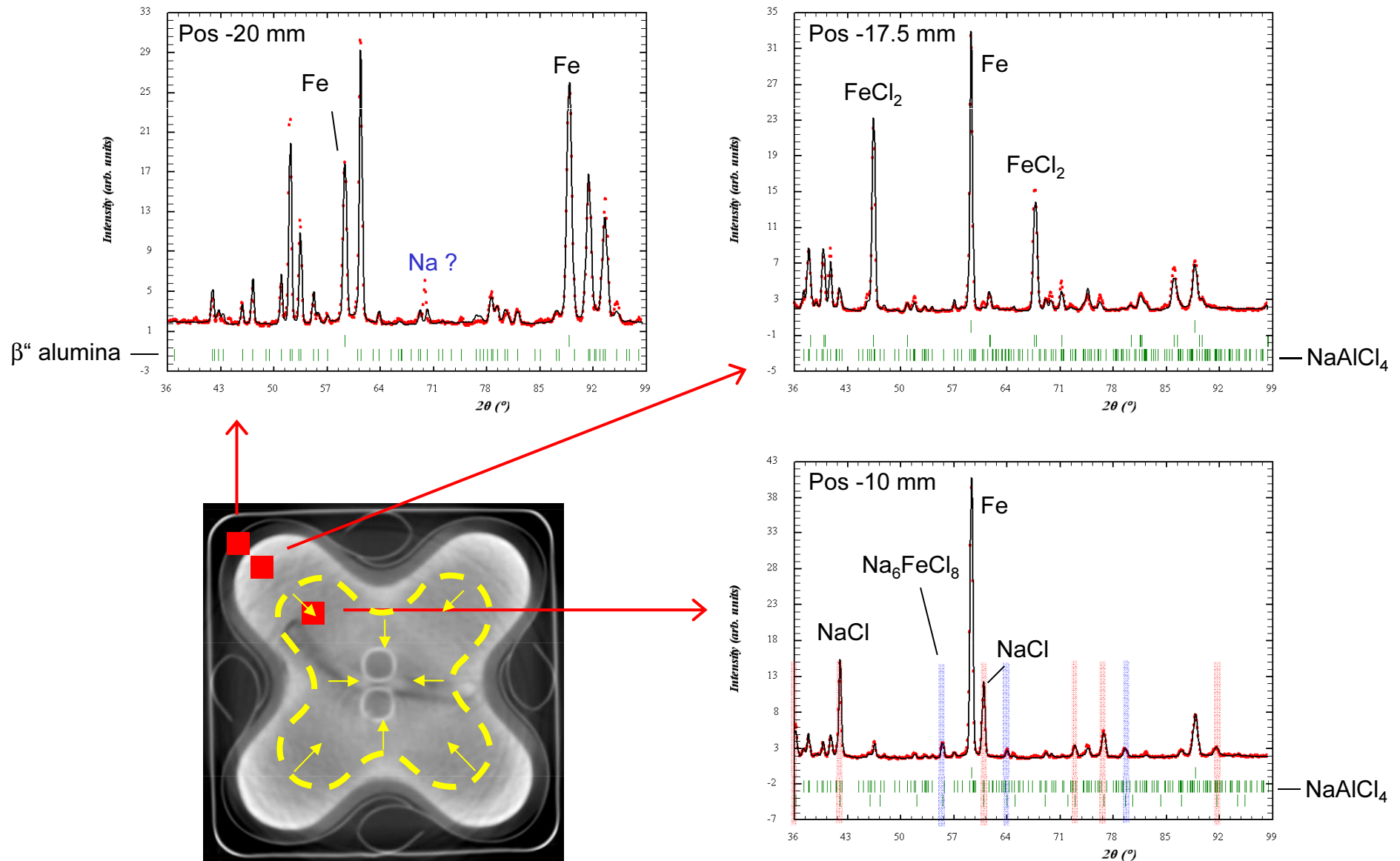


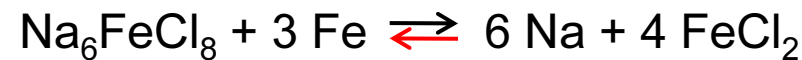
Raumgruppe: R -3 m (H)

$$a = 5.631(2) \text{ \AA}$$

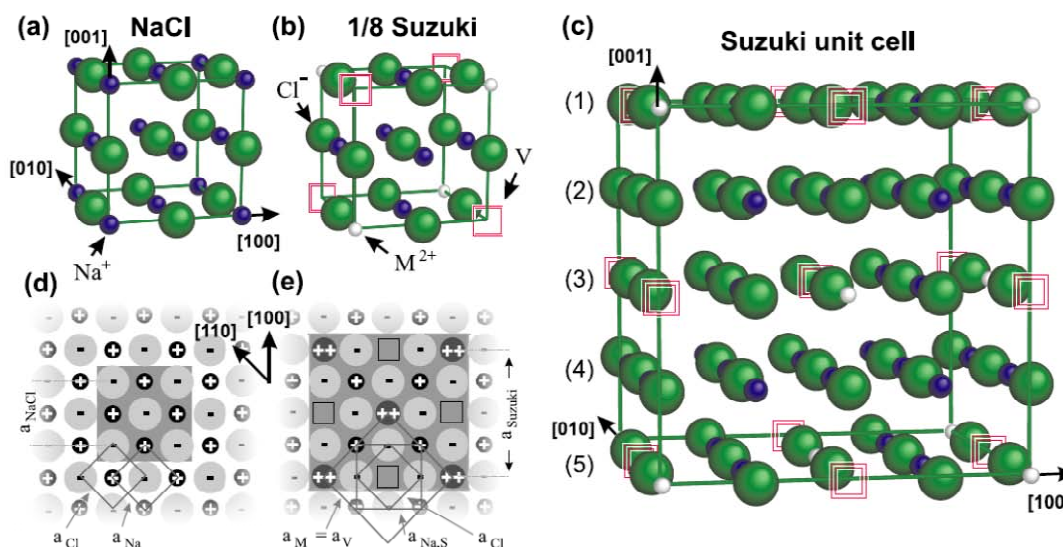
$$c = 33.578(10) \text{ \AA}$$





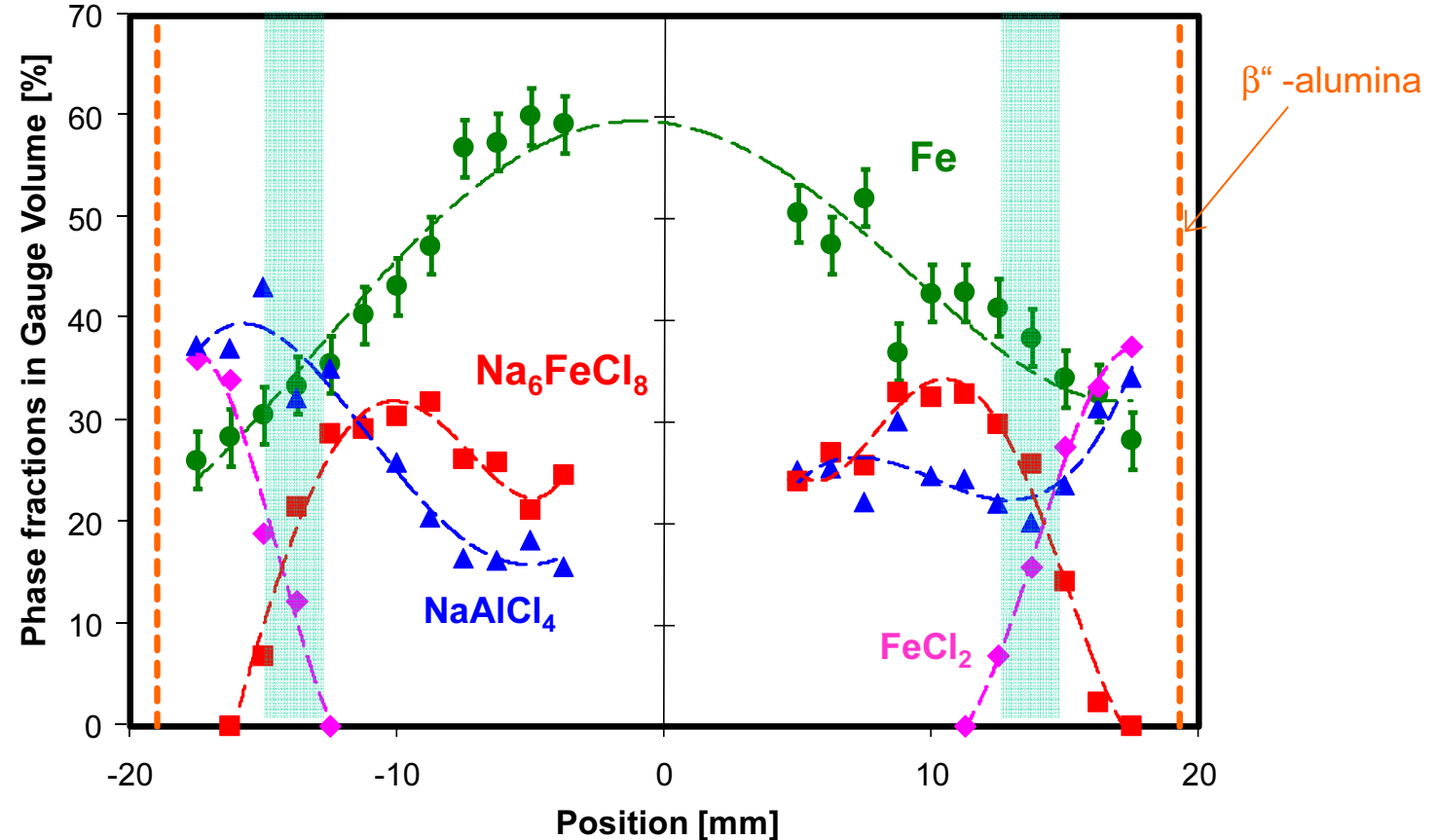


Bei T ~ 250°C / NaAlCl<sub>4</sub>



C. Barth, C.R. Henry, *New J. Phys* **11** (2009) 043003

## Phasenverteilung im Messvolumen (2x20x2 mm<sup>3</sup>)



## **Zusammenfassung:**

- Radiographie zeigt Na - Füllstand
- Tomographie erlaubt die innere Struktur und evt. die Porosität zu untersuchen
- Diffraktion:
  - Phasencharakterisierung
  - quantitative Phasenverteilung in der ganzen Zelle

## **Ausblick:**

### **In-situ Versuche**

- Radiographie
- Diffraktion

